

## การจำลองทรานซิสเตอร์คู่คูเปอร์เดี่ยวสำหรับเป็นเครื่องตรวจจับฟลักซ์แม่เหล็ก

### The simulation of single Cooper pair transistor for magnetic flux detector

จตุรรัตน์ ทานะรมณ์

Jutarat Tanarom

กลุ่มงานมาตรฐานปฐมภูมิไฟฟ้า เวลาและความถี่ ฝ่ายมาตรวิทยาไฟฟ้า สถาบันมาตรวิทยาแห่งชาติ

Primary Electrical, Time and Frequency group, Electrical Metrology Department,

National Institute of Metrology, Thailand

\*Corresponding Author E-mail: jutarat@nimt.or.th

Received: 15/08/24, Revised: 2/10/24, Accepted: 4/10/24

#### บทคัดย่อ

บทความนี้นำเสนอการศึกษาเกี่ยวกับลักษณะของทรานซิสเตอร์คู่คูเปอร์เดี่ยว เมื่อถูกนำไปติดตั้งในวงจร Superconducting Quantum Interface Device, SQUID เป็นอุปกรณ์ตรวจจับสนามแม่เหล็กที่มีความไวสูงมาก โดยมีตรวจสอบความสมดุลของเฟสผ่านทรานซิสเตอร์คู่คูเปอร์เดี่ยว เมื่อกระแสโจเซฟสันไหล และการสำรวจการปรับแต่งกระแสคูเปอร์ของทรานซิสเตอร์คู่คูเปอร์เดี่ยวในวงจรที่มีลูปพ่วงกับแรงดันเกต การทราบพฤติกรรมของทรานซิสเตอร์คู่คูเปอร์เดี่ยวในโครงสร้างลูปนี้มีความสำคัญสำหรับการผสมผสานกับวงจรอิเล็กทรอนิกส์ที่เป็นสารตัวนำยิ่งยวดอื่น ๆ ในงานวิจัยนี้ได้ทำการจำลองทรานซิสเตอร์คู่คูเปอร์เดี่ยวในหนึ่งสาขาของวงจรลูป SQUID ผลการจำลองพบว่าทรานซิสเตอร์คู่คูเปอร์เดี่ยว สามารถนำมาใช้เป็นสวิตช์กระแสคูเปอร์ได้

**คำสำคัญ:** ทรานซิสเตอร์คู่คูเปอร์เดี่ยว ปรากฏการณ์การขัดขวางแบบคูลอมป์ ฟลักซ์แม่เหล็ก

#### Abstract

This article presents a study on the characteristics of single Cooper-pair transistors when integrated into a Superconducting Quantum Interface Device (SQUID) circuit. SQUID is a highly sensitive magnetometer that uses phase balance checks through single Cooper-pair transistors when Josephson currents flow. The study explores the tuning of the supercurrent of the single Cooper-pair transistors in a circuit with a loop coupled to gate voltage. Understanding the behavior of single Cooper-pair transistors in this loop structure is crucial for integrating them with other superconducting electronic circuits. The research includes simulations of the single Cooper-pair transistor in one branch of a SQUID loop circuit. The

simulation results indicate that single Cooper-pair transistors can be used as superconducting current switches.

**Keywords:** single Cooper-pair transistor, Coulomb blockage phenomenon, magnetic flux

#### 1. บทนำ

เทคนิคการผลิตอุปกรณ์ในระดับนาโนทำให้เกิดการควบคุมการเคลื่อนที่ของประจุเดี่ยวในอุปกรณ์ของแข็งเป็นไปได้ โดยเฉพาะอุปกรณ์ประจุเดี่ยว เช่น อุปกรณ์คู่คูเปอร์เดี่ยว ได้รับการศึกษามาอย่างเข้มข้นในช่วงปี 1990 และ 2000 [1-2] อุปกรณ์ประจุเดี่ยวมีแอปพลิเคชันพื้นฐานที่สำคัญเนื่องจากความสามารถในการจัดการกับอิเล็กตรอนและคูเปอร์เดี่ยวอย่างเฉพาะเจาะจง อุปกรณ์เหล่านี้ได้รับการเสนอเพื่อใช้ในแอปพลิเคชันจริง เช่น หน่วยความจำและอุปกรณ์ตรรกะในวงจรรวม นั่นคือการประดิษฐ์ปิดคอนดัคชันคูเปอร์คอนดักเตอร์ซึ่งประกอบด้วยรอยต่อโจเซฟสัน [3]

ทรานซิสเตอร์คู่คูเปอร์เดี่ยว (SCPT) เป็นอุปกรณ์พื้นฐานที่มีโครงสร้างคล้ายกับทรานซิสเตอร์ฟิลด์เอฟเฟกต์ (FET) และเป็นอุปกรณ์คูเปอร์คอนดักเตอร์สามขั้วที่ประกอบด้วยรอยต่อโจเซฟสันขนาดเล็กสองอนุกรมกันและขั้วเกตที่เชื่อมต่อแบบกักเก็บกับเกาะระหว่างรอยต่อโจเซฟสันทั้งสอง อุปกรณ์ SCPT ทำงานบนกระแสคูเปอร์โกลด์แรงดันศูนย์ที่สถานะตัวนำยิ่งยวด และสามารถรวมกระบวนการส่งผ่านแบบไฮบริดที่ไม่สอดคล้องกันระหว่างควอซีพาร์ติเคิลและคูเปอร์ควบที่แรงดันสูง ความเป็นไปได้ในการนำ SCPTs มาใช้ร่วมกับอุปกรณ์อิเล็กทรอนิกส์อื่น ๆ นั้นได้จริง จึงเป็นที่มาสนใจมาก

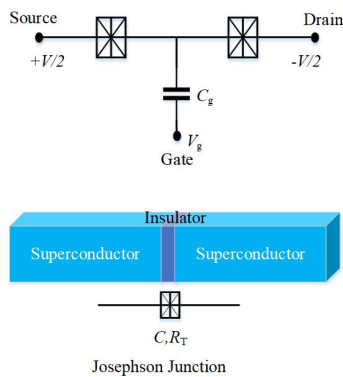
บทความนี้เสนอการศึกษาเกี่ยวกับลักษณะของทรานซิสเตอร์คู่คูเปอร์เดี่ยว เมื่อนำไปใส่ในลูปที่มีลักษณะคล้ายอุปกรณ์ควอนตัมการแทรกแซงคูเปอร์คอนดักเตอร์กระแสตรง Superconducting Quantum Interface Device (SQUID) โดยศึกษาการตรวจสอบความสอดคล้องของเฟสผ่าน SCPT เมื่อกระแสโจเซฟสันไหล และการตรวจสอบการเปลี่ยนแปลงกระแสคูเปอร์ของ SCPT ในลูปที่มีแรงดันเกตเป็น

พารามิเตอร์ เนื่องจาก SCPT มีความไวในการตรวจจับสูงที่  $10^{-7} e/\sqrt{\text{Hz}}$  [3] จึงสามารถนำมาใช้ร่วมกับวงจรที่เรียกว่า Rapid Single Flux Quantum (RSFQ) และวงจร SQUID ใช้โครงสร้างคู่ชุปเปอร์คอนดักเตอร์ได้ การจำลองพฤติกรรมของ SCPT ในโครงสร้างคู่ดังกล่าวจึงมีความสำคัญสำหรับการผสมผสานกับวงจรอิเล็กทรอนิกส์คู่ชุปเปอร์คอนดักเตอร์อื่น ๆ โดยสิ่ง SCPT ไว้นั้นหนึ่งสาขาของคู่ dc-SQUID

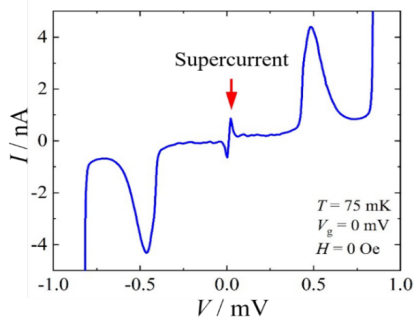
## 2. ทฤษฎีที่เกี่ยวข้อง

### 2.1 ทรานซิสเตอร์คู่ชุปเปอร์เดี่ยว

ทรานซิสเตอร์คู่ชุปเปอร์เดี่ยว (Single Cooper pair transistor, SCPT) เป็นหนึ่งในอุปกรณ์พื้นฐานที่สามารถแสดงปรากฏการณ์การขัดขวางแบบคูลอมป์ (Coulomb blockage phenomenon) [4] ซึ่งเป็นปรากฏการณ์ที่ทำให้ทรานซิสเตอร์คู่ชุปเปอร์เดี่ยวสามารถควบคุมคู่ชุปเปอร์อิเล็กตรอนได้ทีละ 1 คู่ ทรานซิสเตอร์คู่ชุปเปอร์เดี่ยวมีขั้วนำของสารตัวยิ่งยวดสามขั้ว ประกอบด้วย สองรอยต่อโจเซฟสันขนาดเล็กมากต่ออนุกรม และมีขั้วเกตซึ่งค้ำบั้งกับเกาะ (island) โดยขั้วเกต ทำหน้าที่ควบคุมระดับพลังงานของคู่ชุปเปอร์อิเล็กตรอนภายในเกาะคู่ชุปเปอร์อิเล็กตรอนจะทะลุผ่านเข้าและออกจากตามแรงดันไฟฟ้าที่ไบอัสที่ขั้วเกต ตามแผนภาพโครงสร้างของทรานซิสเตอร์คู่ชุปเปอร์เดี่ยวแสดงดังรูปที่ 1



รูปที่ 1 ทรานซิสเตอร์คู่ชุปเปอร์เดี่ยว และสัญลักษณ์ของรอยต่อโจเซฟสัน

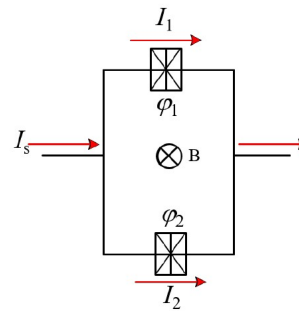


รูปที่ 2 กราฟคุณลักษณะระหว่างกระแสไฟฟ้ากับแรงดันไฟฟ้าของทรานซิสเตอร์คู่ชุปเปอร์ ที่อุณหภูมิ 75 mK, แรงดันไบอัสที่ขั้วเกต 0 mV และสนามแม่เหล็ก 0 Oe, ถูกตรึงค่าคง คือ พีทของกระแสชุปเปอร์ [5-6]

ทรานซิสเตอร์คู่ชุปเปอร์เดี่ยวจะทำงานบนพีทของกระแสชุปเปอร์ (supercurrent) ที่ไบอัสแรงดันไฟฟ้าที่มีค่าใกล้เคียงจากกราฟคุณลักษณะของทรานซิสเตอร์คู่ชุปเปอร์เดี่ยว แสดงความสัมพันธ์ระหว่างค่ากระแสไฟฟ้ากับค่าแรงดันไฟฟ้า ( $I - V$  curve) ดังแสดงในรูปที่ 2 [5-6] เป็นการแสดงความสัมพันธ์การส่งผ่านของคู่ชุปเปอร์อิเล็กตรอนเท่านั้นและทำงานอยู่ในระบบที่มีอุณหภูมิต่ำกว่า 100 mK ในการทำงานของทรานซิสเตอร์คู่ชุปเปอร์เดี่ยว เมื่อกระแส supercurrent ของทรานซิสเตอร์ถูกมอดูเลตด้วยแรงดันไฟฟ้าที่ขั้วเกต ( $V_g$ ) กระแสชุปเปอร์ที่เกิดขึ้นจะแสดงความสัมพันธ์การส่งผ่านของคู่ชุปเปอร์อิเล็กตรอนที่เกาะขึ้นอยู่กับจำนวนคู่ชุปเปอร์อิเล็กตรอนภายในเกาะซึ่งมีช่วงระยะเวลาเท่ากับ  $2e/C_g$  เมื่อ  $C_g$  คือค่าความจุไฟฟ้าที่ขั้วเกต

### 2.2 อุปกรณ์ควอนตัมการแทรกแซงชุปเปอร์คอนดักเตอร์กระแสตรง

อุปกรณ์ควอนตัมการแทรกแซงชุปเปอร์คอนดักเตอร์กระแสตรง (dc-SQUID) ประกอบด้วยคู่ชุปเปอร์คอนดักเตอร์ที่ถูกขัดจังหวะด้วยรอยต่อโจเซฟสันสองรอยต่อที่เชื่อมต่อกันแบบขนานตามที่แสดงในรูปที่ 3 โดยทั่วไปแล้ว DC-SQUID ใช้เป็นแม่เหล็กเซนเซอร์ที่มีความไวสูงมาก



รูปที่ 3 แผนภาพของ dc-SQUID: กระแสที่นำไปใช้จะแบ่งออกเป็นสองส่วน  $I_1$  และ  $I_2$  ภายใต้สนามแม่เหล็ก ความแตกต่างของเฟสสำหรับจังก์ชันทั้งสอง คือ  $\varphi_1$  และ  $\varphi_2$  ตามลำดับ

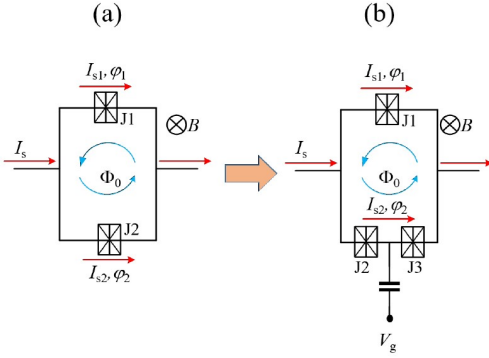
ฟิสิกส์ของ dc-SQUID พิจารณาได้จากกระแสวิกฤต  $I_c$  มีค่าเท่ากัน ซึ่งจะแยกออกเป็นกระแส  $I_1$  และ  $I_2$  ผ่านรอยต่อโจเซฟสัน 1 และ 2 ตามลำดับ ความแตกต่างของเฟสของรอยต่อโจเซฟสัน 1 และ 2 จะถูกระบุด้วย  $\varphi_1$  และ  $\varphi_2$  ตามลำดับ ตามกฎของเคอร์ชอฟฟ์ (Kirchhoff's Law) กระแสไบอัสจะต้องเท่ากับผลรวมของ  $I_1$  และ  $I_2$  ดังนั้น

$$I_s = I_c [\sin \varphi_1 + \sin \varphi_2] \quad (1)$$

ความแตกต่างของเฟสของรอยต่อโจเซฟสันทั้งสองสามารถแสดงเป็น  $\varphi_2 - \varphi_1 = 2\pi n + 2\pi \frac{\Phi}{\Phi_0}$ , โดยที่  $\Phi_0 = h/2e$  คือควอนตัมฟลักซ์ชุปเปอร์คอนดักเตอร์ จะได้

$$I_s = 2I_c \cos\left(\pi \frac{\Phi}{\Phi_0}\right) \sin\left(\varphi_2 + \pi \frac{\Phi}{\Phi_0}\right) \quad (2)$$

3. การจำลองทรานซิสเตอร์คู่เปอร์เตอร์เดี่ยวสำหรับตรวจจับฟลักซ์แม่เหล็ก

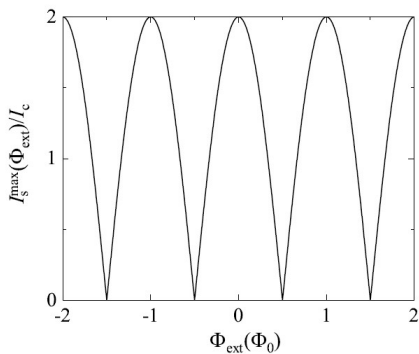


รูปที่ 4 (a) วงจรเทียบเท่าของ dc-SQUID ที่มีโจเซฟสันจังก์ชันสองตัว (b) วงจรเทียบเท่าของรูปแบบ dc-SQUID ที่มีการฝัง SCPT ไว้ในหนึ่งสาขา

เมื่อ SCPT ถูกแทรกเข้าไปในวงจรซูเปอร์คอนดักเตอร์ เช่น วงจร RSFQ คุณสมบัติความสอดคล้องของกระแสซูเปอร์ผ่าน SCPT เป็นสิ่งสำคัญ เพื่อทดสอบความสอดคล้องผ่านวงจรซูเปอร์คอนดักเตอร์ที่มี SCPT ฝังอยู่ จึงจำลองสร้าง SQUID กระแสตรง ซึ่งรอยต่อโจเซฟสันหนึ่งจุดถูกแทนที่ด้วย SCPT ขนาดของกระแสซูเปอร์สูงสุดผ่านวงจร SQUID ถูกคำนวณโดยการเปลี่ยนแปลงฟลักซ์แม่เหล็กผ่านวงจรและแรงดันเกิด กระแสโจเซฟสันรวมทั้งหมดที่ผ่านวงจร dc-SQUID แบบง่ายตามที่แสดงในรูปที่ 3(a) คือ

$$I_s = I_{s1} + I_{s2} = I_{c1} \sin \varphi_1 + I_{c2} \sin \varphi_2 \quad (3)$$

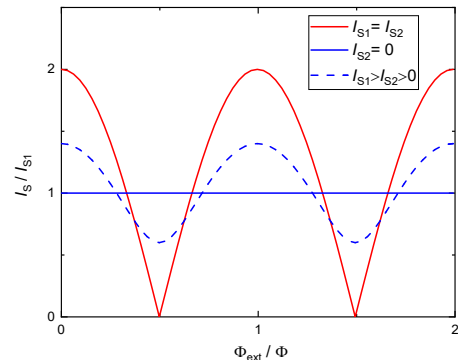
โดยที่  $I_{c1}$  และ  $I_{c2}$  คือกระแสวิกฤตของรอยต่อโจเซฟสันที่ 1 และ 2 ตามลำดับ และ  $\varphi_1$  และ  $\varphi_2$  คือ ความแตกต่างของเฟสที่ข้ามจังก์ชันที่ 1 และ 2 ตามลำดับ ถ้าฟลักซ์  $\Phi$  กำลังไหลผ่านลูปเนื่องจากฟลักซ์ภายนอก  $\Phi_{ext}$  และ  $I_{c1} = I_{c2} = I_c$  กระแสซูเปอร์สูงสุดจะเป็นดังสมการและแสดงความสัมพันธ์รูปที่ 5 ดังนี้



รูปที่ 5 กระแสวิกฤต  $I_{s\_max}$  ของ DC SQUID เทียบกับฟลักซ์แม่เหล็กภายนอกในหน่วยของฟลักซ์ควอนตัม

$$I_{s\_max} = 2I_c \left| \cos \pi \frac{\Phi_{ext}}{\Phi_0} \right| \quad (4)$$

จากรูปที่ 6 แสดงผลการคำนวณของกระแสซูเปอร์วิกฤต  $I_{s\_max}$  ผ่านลูปเป็นฟังก์ชัน  $\Phi_{ext}$  เส้นโค้งสีแดงแสดงกรณีที่  $I_{s1} = I_{s2}$  และเส้นโค้งสีน้ำเงินแสดงกรณีที่  $I_{s1} > I_{s2} > 0$  เส้นโค้งสีน้ำเงินแสดงกรณีที่อยู่ระหว่างนั้น สำหรับกรณีที่  $I_{s2} = 0$  สามารถถือได้ว่าลูปซูเปอร์คอนดักเตอร์เปิดอยู่ในสาขาหนึ่งเนื่องจากไม่มีการมอดูเลตสนามแม่เหล็ก



รูปที่ 6 พฤติกรรมที่คำนวณของกระแสซูเปอร์ในลูปฝัง SCPT ที่สัมพันธ์กับฟังก์ชันของฟลักซ์แม่เหล็กภายนอก

4. ผลการจำลองและการวิเคราะห์

จากการพิจารณากรณีที่ SCPT ถูกฝังอยู่ในหนึ่งในสาขาของ SQUID แทนที่จะเป็นรอยต่อโจเซฟสันเดียวตามที่แสดงในรูปที่ 3(b) ซึ่งเรียกจุดเชื่อมต่อทั้งสองใน SCPT ว่า จุดเชื่อมต่อ 2 และ 3 และสมมติว่าพลังงานเชื่อมต่อโจเซฟสันของรอยต่อทั้งสองคือ  $E_{J2}$  และ  $E_{J3}$  ตามลำดับ ความแตกต่างของเฟสข้ามรอยต่อทั้งสองคือ  $\varphi_{J2}$  และ  $\varphi_{J3}$  ตามลำดับ และ  $\varphi_{J2} + \varphi_{J3} = \varphi_2$  รอยต่อทั้งสองมีความจุ  $C_2$  และ  $C_3$  และความจุที่ขั้วเกิดคือ  $C_g$  ผลรวมของพวกเขาคือ  $C_\Sigma = C_2 + C_3 + C_g$  เมื่อ  $E_{J2,J3} \ll E_c$  จะได้สมการง่ายๆสำหรับ  $I_{s2}$  โดยใช้ทฤษฎี [7-8]

$$I_{s2} = \frac{2e}{\hbar} \frac{E_{J2} E_{J3} \sin \varphi_2}{\sqrt[4]{(eC_g / C_\Sigma)^2 (V_g - V_g^{(n)})^2 + E_J^2(\varphi_2) / 4}} \quad (5)$$

$$\text{เมื่อ } E_J(\varphi_2) = [E_{J2}^2 + E_{J3}^2 + 2E_{J2}E_{J3} \cos \varphi_2]^{1/2}$$

และเมื่อมีการนำฟลักซ์แม่เหล็กภายนอกมาผ่านวงแหวน ความสัมพันธ์ระหว่าง  $\varphi_1$  และ  $\varphi_2$  จะเป็น

$$\varphi_2 - \varphi_1 = 2\pi n + 2\pi \frac{\Phi_{ext}}{\Phi_0} \quad (6)$$

โดยที่  $\Phi_0 = h/2e$  คือ ฟลักซ์ควอนตัม กระแสทั้งหมดที่ไหลผ่านลูปคือ

$$I_s = I_{c1} \sin\left(\varphi_2 - \frac{2\pi\Phi_{\text{ext}}}{\Phi_0}\right) + I_{c2} \sin\left(\frac{\varphi_2}{2}\right) \quad (7)$$

โดยที่  $I_{c2}$  เท่ากับ  $eE_J/2\hbar$  สำหรับ  $0 \leq \varphi_2 \leq \pi$  และ  $-eE_J/2\hbar$  เท่ากับ  $\pi \leq \varphi_2 \leq 2\pi$  สำหรับความหนาแน่นของฟลักซ์แม่เหล็กภายนอก  $B_{\text{ext}}$  ซึ่ง  $\Phi_{\text{ext}}/\Phi_0$  ถูกแสดงเป็น  $B_{\text{ext}}/B_0$  โดยที่  $\Phi_0 = B_0 A$  โดยที่  $A$  คือพื้นที่ของวงแหวน ดังนั้นกระแสโจเซฟสันทั้งหมด (รูปที่ 3(b)) จะมีลักษณะเป็นช่วงตามสนามแม่เหล็กที่ใช้  $B_{\text{ext}}$  เมื่อไม่มีแรงดัน กระแสซูเปอร์สูงสุด  $I_{s,\text{max}}$  จะหาได้จากสมการ (5) ตาม  $\varphi_2$  จากผลการวิเคราะห์ความสัมพันธ์ของกระแสที่ไหลในลูปที่มี SCPT จะมีลักษณะเป็นไปดังรูปที่ 6 การใช้ SCPT ที่มีค่ามอดูลสูง  $\sim 1$  จึงสามารถเปิดและปิดลูปซูเปอร์คอนดักเตอร์ด้วยแรงดันเกตได้ ดังนั้น การใช้ SCPT ที่มีความสามารถเปิดและปิดวงจรรูเปอร์คอนดักเตอร์ด้วยแรงดันเกตจากการตรวจสอบฟังก์ชันการสลับกระแสซูเปอร์ของ SCPT ได้

## 5. สรุป

บทความนี้ได้กล่าวถึงการศึกษาคุณสมบัติของกระแสซูเปอร์ผ่านวงจรรูปแบบ SQUID ที่มีสาขาหนึ่งเป็นรอยต่อโจเซฟสันจำนวนหนึ่ง รอยต่อและอีกสาขาหนึ่งเป็นทรานซิสเตอร์คู่ซูเปอร์เดี่ยว จากผลการจำลองพบว่าทรานซิสเตอร์คู่ซูเปอร์เดี่ยวสามารถนำมาใช้เป็นสวิตช์กระแสเขียนได้ อย่างไรก็ตาม เมื่อออกแบบวงจรรูปที่ใช้ทรานซิสเตอร์คู่ซูเปอร์เดี่ยวในวงจรมานำมายาวจำเป็นต้องพิจารณาการผันผวนของอิเล็กทรอนิกส์ที่มีผลต่อการตรวจจับ

## 6. กิตติกรรมประกาศ

ขอขอบคุณ ดร.พลอยบุศรา โกมาสังข์ ภาควิชาวิศวกรรมไฟฟ้า คณะวิศวกรรมศาสตร์และเทคโนโลยีอุตสาหกรรม สำหรับคำแนะนำทางด้านวงจรไฟฟ้า และฝ่ายมาตรวิทยาไฟฟ้า สถาบันมาตรวิทยาแห่งชาติ ที่สนับสนุนให้ศึกษาและทำงานวิจัยเพื่อนำไปพัฒนาตัวมาตรฐานทางการวัดด้านไฟฟ้า

## เอกสารอ้างอิง

- [1] L. J. Geerligs, V. F. Anderegg, J. Romijn, and J. E. Mooij, "Single cooper-pair tunneling in small-capacitance junctions," *The Journal of Physical Review Letters*, vol. 65, no. 3, Jul., pp. 377 - 380, 1990.
- [2] M. T. Tuominen, J. M. Hergenrother, T. S. Tighe, and M. Tinkham, "Experimental evidence for parity-based  $2e$  periodicity

in a superconducting single electron tunneling transistor," *The Journal of Physical Review Letters*, vol. 69, no. 13, Jul., pp. 1997 - 2000, 1992.

- [3] L. Tosi, D. Vion, and H. le Sueur, "Design of a cooper-pair box electrometer for application to solid-state and astroparticle physics," *Phys. Rev. Applied* 11, p. 054072, 2019.
- [4] Y. Nakamura, Y. Pashkin, and J.-S. Tsai, "Coherent control of macroscopic quantum states in a single-cooper-pair box," *The Journal of Nature*, vol. 398, no. 6730, Apr., pp. 786-788, 1999.
- [5] J. Tanarom, T. Watanabe, Y. Mizugaki, and H. Shimada, "Sensitive phonon detection using a single Cooper-pair transistor," *The Journal of Applied Physics Express*, vol. 15, no. 6, May., pp. 064001, 2022.
- [6] J. Tanarom, Y. Mizugaki, and H. Shimada, "Detection of phonons with a single Cooper-pair transistor," In *2021 Proc. International Conference on the Superconducting Electronics group conference of the Institute of Electronics, Information and Communication Engineers*, 2021, pp. 10 - 13 .
- [7] V. Ambegaokar and A. Baratoff, "Tunneling between superconductors," *The Journal of Physical Review Letters*, vol. 10, no. 11, Jun., pp. 486, 1963.
- [8] L. I. Glazman, F. W. J. Hekking, K. A. Matveev, and R. I. Shekhter, "Charge parity in Josephson tunneling through a superconducting grain," *Journal of Physica B: Condensed Matter*, vol. 203, no. 3-4, Feb., pp. 316-326, 1994.